

## 基于 Benders-Dual Cutting Plane 算法的两阶段鲁棒优化

### Matlab 复现

**文献来源：**B. Zeng, L. Zhao. *Solving two-stage robust optimization problems using a column-and-constraint generation method*. Operations Research Letters 41 (2013) 457–461.

**参考解读：**鲁棒优化| C&CG 算法求解两阶段鲁棒优化：全网最完整、最详细的【入门-完整推导-代码实现】笔记

#### 一、 两阶段鲁棒优化（Two-stage Robust Optimization）

##### 【两阶段鲁棒优化】

在传统的确定性优化模型中，我们通常假设所有参数在决策前都是已知的，例如需求、负荷、风光出力等。然而在实际系统中，这些参数往往存在显著不确定性。

**鲁棒优化（Robust Optimization, RO）** 通过在一个不确定集内寻找“最坏情形”的最优解，从而提高方案的抗扰性。但单阶段鲁棒优化把所有决策一次性做完，往往过于保守。为此，引入了**两阶段鲁棒优化（Two-stage RO）** 框架：

- **第一阶段：** 在不确定性揭晓前做出的决策。在电力中对应机组组合（Unit Commitment, UC），即决定哪些发电机开机。
- **第二阶段：** 在不确定性（如风电出力实际值）揭晓后做出的调整决策。在电力中对应经济调度（Economic Dispatch, ED），即调整发电机的具体出力。

##### 【两阶段鲁棒模型的典型形式】

$$\min_y c^T y + \max_{u \in \mathcal{U}} \min_{x \in F(y, u)} b^T x \quad (1-1)$$

决策变量： $y$ 为第一阶段决策（如容量、选址）， $x$ 为第二阶段决策（如潮流、运输流）

参数不确定性： $u$ 为不确定参数（如负荷、需求、新能源等）， $\mathcal{U}$ 为有限的不确定集。

##### 【参考论文所完成的工作】

Zeng & Zhao (2013)的工作，选取**鲁棒选址-运输（Location-Transportation）**问题作为算例，采用列与约束生成算法（**Column-and-Constraint Generation, C&CG**）精确求解两阶段鲁棒模型，本文用 Matlab+YALMIP 复现。

## 二、 数学模型

### 1. 通用线性两阶段鲁棒优化模型 Two-Stage RO

#### 【目标函数】

最小化“第一阶段投资成本” $c^T y$ 和“最恶劣场景下第二阶段运输成本” $b^T x$ 之和。

$$\min_y c^T y + \max_{u \in \mathcal{U}} \min_{x \in F(y, u)} b^T x \quad (2-1-1)$$

#### 【约束方程】

$$Ay \geq d, y \in \mathcal{S}_y \quad (2-1-2)$$

$$F(y, u) := \{x \in \mathcal{S}_x : Gx \geq h - Ey - Mu\} \quad (2-1-3)$$

其中，约束(2-2)是第一阶段的“先天约束”（如预算、二进制变量等）；约束(2-3)是第二阶段在给定 $y, u$ 下 $x$ 的可行性约束（功率平衡、容量限制等）。

### 2. 选址-运输 Two-Stage RO

#### 【目标函数】

$$\min_{y, z} \sum_i f_i y_i + \sum_i a_i z_i + \sum_i \sum_j c_{ij} x_{ij} \quad (2-2-1)$$

$f_i$ 为固定建设成本(fixed cost)， $a_i$ 为单位容量建设成本(unit capacity cost)， $c_{ij}$ 为单位运输成本。

**第一阶段变量：** $y_i \in \{0, 1\}$ ，表示是否在节点*i*建设设施(facility location variable)， $z_i$ 表示在节点*i*的设施容量(the capacity variable)。

**第二阶段变量：** $x_{ij}$ 表示从*i*到*j*的运输量(transportation variable)， $x$ 是一个(源节点数，目的节点数)大小的矩阵变量。

**不确定参数：** $d_j$ 表示客户*j*的需求， $D$ 为多面体不确定集。

该问题决策分为两个阶段：

**第一阶段：**在需求未知时，决定设施选址和容量。

**第二阶段：**在需求不确定集揭示后，决定运输方案以满足需求并最小化成本。

#### 【约束方程】

$$\text{容量建设约束} \quad z_i \leq K_i y_i, \forall i \quad (2-2-2)$$

其中 $K_i$ 为节点*i*的最大允许建设容量。

$$\text{容量限制 (流出量不超过容量)} \quad \sum_j x_{ij} \leq z_i, \forall i \quad (2-2-3)$$

$$\text{需求限制 (流出量满足需求)} \quad \sum_i x_{ij} \geq d_j, \forall j \quad (2-2-4)$$

运输量为正

$$x_{ij} \geq 0 \quad (2-2-5)$$

### 【不确定集D】

论文采用如下方式构建不确定集：

$$d_j = \underline{d}_j + \hat{d}_j g_j \quad (2-2-6)$$

$$\text{s.t. } g_j \in \{0, 1\}, j = 1, \dots, n \quad (2-2-7)$$

$$\sum_j g_j \leq \Gamma, j = 1, \dots, n \quad (2-2-8)$$

其中， $d_j$ 为实际需求， $\underline{d}_j$ 为基准需求， $\hat{d}_j$ 为最大需求偏差， $g_j$ 为不确定系数

(Perturbation Factor)，表示偏差发生的程度。

式(2-11)中 $\Gamma$ 为“不确定性预算”参数，用于控制保守程度。如果 $\Gamma = 0$ ，表示我们认为所有的 $g_j = 0$ ，完全忽略不确定性；如果 $\Gamma$ 等于节点总数，表示允许所有节点同时达到峰值，即考虑最坏的情况，此时通常导致结果过于保守，成本极高。  
※不确定集D通过参数 $\Gamma$ 让决策者可以在风险中性和极端保守之间找到平衡点，同时利用线性约束来描述变量间的相关性。

## 3. Two-Stage RO 和 Benders-Dual Cutting Plane Method

### 【主问题 (Master Problem)】

包含第一阶段的决策 $y$ 、只与 $y$ 有关的约束、子问题返回的割 $\eta \geq 0$ ，评估第二阶段目标函数取值的辅助变量 $\eta$

$$\min_y c^T y + \eta \quad (2-3-1)$$

$$\text{s.t. } Ay \geq d, \quad (2-3-2)$$

$$\mathcal{S}_y \subseteq \mathbb{R}_+^n, \quad (2-3-3)$$

$$\eta \geq 0. \quad (2-3-4)$$

### 【子问题 (Subproblem)】

$$\max_{u \in \mathcal{U}} \min_{x \in F(y, u)} b^T x \quad (2-3-5)$$

$$\text{s.t. } Gx \geq h - Ey - Mu, u \in \mathcal{U} \quad (2-3-6)$$

$$\mathcal{S}_x \subseteq \mathbb{R}_+^m, \quad (2-3-7)$$

子问题的外层是 $\max_{u \in \mathcal{U}}$ ，决策变量是不确定量 $u$ ；内层是 $\min_{x \in F(y, u)}$ ，决策变量是 $x$ 。

从而内层模型是关于 $x$ 的线性规划，假定已知 $\bar{y}$ 、 $\bar{u}$ ，可以写出内层模型的对偶问题：

$$\max_{\lambda} (h - E\bar{y} - Mu)^T \lambda \quad (2-3-8)$$

$$\text{s.t. } G^T \lambda \leq b, \quad (2-3-9)$$

$$\lambda \geq 0. \quad (2-3-10)$$

此时子问题的外层和内层写在一起，可以转化为单层模型：

$$\max_{\lambda, u} (h - E\bar{y} - Mu)^T \lambda \quad (2-3-11)$$

$$\text{s.t. } G^T \lambda \leq b, \quad (2-3-12)$$

$$\lambda \geq 0, \quad (2-3-13)$$

$$u \in \mathcal{U}. \quad (2-3-14)$$

写成函数形式：

$$\text{SP1} \quad Q(y) = \max_{\lambda, u} \{(h - E\bar{y} - Mu)^T \lambda : G^T \lambda \leq b, \lambda \geq 0, u \in \mathcal{U}\} \quad (2-3-15)$$

其中， $\bar{y}$ 为固定参数，决策变量是不确定量 $u$ 和对偶变量 $\lambda$ 。如果满足强对偶性，则求解该单层问题得到的最优值即为原子问题的最优值，否则，由弱对偶性，该单层问题的最优值提供了一个下界。【参见9602PPTDuality①】

### 【求解子问题SP1】

SP1目标函数含有 $u^T \lambda$ ，决策变量之积，引入双线性项，是一个bilinear optimization problem。文献采用KKT条件引入Big-M线性化，求解子问题，本文采用Gurobi求解非线性问题。对于给定的第 $k$ 步迭代中第一阶段得到的 $y_k$ ，通过求解SP1，得到相应的子问题的解 $(\lambda_k^*, u_k^*)$ ，生成割平面：

$$\eta \geq (h - E\bar{y} - Mu_k^*)^T \lambda_k^* \quad (2-3-16)$$

### 【更新主问题】

将割平面加入到主问题中：

$$\text{MP1} \quad \min_y c^T y + \eta \quad (2-3-17)$$

$$\text{s.t. } Ay \geq d, \quad (2-3-18)$$

$$\mathcal{S}_y \subseteq \mathbb{R}_+^n, \quad (2-3-19)$$

$$\eta \geq (h - E\bar{y} - Mu_l^*)^T \lambda_l^*, \forall l \leq k \quad (2-3-20)$$

$$\eta \in \mathbb{R}. \quad (2-3-21)$$

其中 $\forall l \leq k$ 表示在前 $k$ 步迭代中，每次产生的割平面都被加入到MP1中。

### 【求解主问题】

※通过计算全局上界和下界，使上下界收敛，得到最优解。

## 4. 选址-运输 Two-Stage RO 和 Benders-Dual Cutting Plane Method

### 【主问题 MP】

$$\min_{y,z} [400 \ 414 \ 326] \begin{bmatrix} y_0 \\ y_1 \\ y_2 \end{bmatrix} + [18 \ 25 \ 20] \begin{bmatrix} z_0 \\ z_1 \\ z_2 \end{bmatrix} + \eta \quad (2-4-1)$$

$$\text{s.t. } z_i \leq K_i y_i, \forall i \quad (2-4-2)$$

$$z \geq 0 \quad (2-4-3)$$

$$\eta \geq 0. \quad (2-4-4)$$

### 【子问题 SP】

$$\min_x \sum_i \sum_j c_{ij} x_{ij} \quad (2-4-5)$$

$$\text{容量限制 (流出量不超过容量)} \quad \text{s.t. } \sum_j x_{ij} \leq z_i, \forall i \quad (2-4-6)$$

$$\text{需求限制 (流出量满足需求)} \quad \sum_i x_{ij} \geq d_j, \forall j \quad (2-4-7)$$

$$\text{运输量为正} \quad x_{ij} \geq 0 \quad (2-4-8)$$

子问题的对偶问题SPDP为：

$$\max_{\pi, \lambda} \sum_j d_j \lambda_j - \sum_i z_i \pi_i \quad (2-4-5)$$

$$\text{s.t. } \lambda_j - \pi_i \leq c_{ij}, \forall (i,j) \quad (2-4-6)$$

$$\pi_i \geq 0, \quad (2-4-7)$$

$$\lambda_j \geq 0. \quad (2-4-8)$$

### 推导：构建子问题的对偶问题

引入对偶变量 $\pi_i$ 和 $\lambda_j$ , 构造拉格朗日函数 $\mathcal{L}(x, \pi, \lambda)$ :

$$\begin{aligned} \mathcal{L}(x, \pi, \lambda) &= \underbrace{\sum_{i,j} c_{ij} x_{ij}}_{\text{原始目标}} + \underbrace{\sum_i \pi_i \left( \sum_j x_{ij} - z_i \right)}_{\text{供给约束惩罚}} - \underbrace{\sum_j \lambda_j \left( \sum_i x_{ij} - d_j \right)}_{\text{需求约束惩罚}} \\ \mathcal{L}(x, \pi, \lambda) &= \sum_{i,j} (c_{ij} + \pi_i - \lambda_j) x_{ij} + \left( \sum_j \lambda_j d_j - \sum_i \pi_i z_i \right) \end{aligned}$$

定义对偶函数 $g(\pi, \lambda)$ :

$$g(\pi, \lambda) = \inf_{x \geq 0} \mathcal{L}(x, \pi, \lambda)$$

$$g(\pi, \lambda) = \begin{cases} \left( \sum_j \lambda_j d_j - \sum_i \pi_i z_i \right), & \text{if } c_{ij} + \pi_i - \lambda_j \geq 0 \\ -\infty, & \text{otherwise} \end{cases}$$

由于  $\inf_{x \geq 0}$ , 因此只需要  $x$  的系数  $\geq 0$ ,  $\inf_{x \geq 0}$  即可为有限值。

从而得到子问题的对偶问题 (Dual Problem) 为:

$$\begin{aligned} & \max_{\pi, \lambda} \sum_j d_j \lambda_j - \sum_i z_i \pi_i \\ & \text{s.t. } \lambda_j - \pi_i \leq c_{ij}, \forall (i, j) \\ & \quad \pi_i \geq 0, \\ & \quad \lambda_j \geq 0. \end{aligned}$$

在SPDP的目标函数中,  $d$ 为不确定参数, 并与对偶变量 $\lambda$ 乘积, 即双线性项 $d_j \lambda_j$ , 导致了非凸性。

代入 (2-9)  $d_j = \underline{d}_j + \hat{d}_j g_j$ , 并加上不确定集约束 (2-2-7) (2-2-8) :

$$\max_{\pi, \lambda} \sum_j (\underline{d}_j + \hat{d}_j g_j) \lambda_j - \sum_i z_i \pi_i \quad (2-4-9)$$

$$\text{s.t. } \lambda_j - \pi_i \leq c_{ij}, \forall (i, j) \quad (2-4-10)$$

$$\pi_i \geq 0, \quad (2-4-11)$$

$$\lambda_j \geq 0. \quad (2-4-12)$$

$$0 \leq g_j \leq 1, \forall j \quad (2-4-13)$$

$$\sum_j g_j \leq \Gamma, \forall j \quad (2-4-14)$$

### 三、 编写代码

#### 1. 选址-运输 Two-Stage RO 和 Benders-Dual Cutting Plane Method

##### 【参数定义】

```
%> 1. 参数定义 (Parameter Definition)
num_nodes = 3; %3 个节点
f = [400; 414; 326]; % 固定建设成本 Fixed cost
a = [18; 25; 20]; % 单位容量建设成本 Unit capacity cost
C_trans = [
    22, 33, 24;
    33, 23, 30;
    20, 25, 27
];
K = [800; 800; 800];% 最大允许建设容量

% 不确定集参数
d_bar = [206; 274; 220]; % 基准需求
d_hat = [40; 40; 40]; % 最大需求偏差
```

```
Gamma = 1.8;
```

由于后文将讨论在问题中加入容量下限约束，因此设置惩罚系数，并计算最大可能总需求：

```
% 惩罚系数 (Penalty Cost): 代表切负荷的高昂成本。  
% 它的作用是保证子问题永远可行。  
% 只要这个值比正常的运输成本(20-30)大很多即可。  
PENALTY_COST = 5000;  
% [附录 A-4.3] 计算最大可能得总需求, 用于主问题预约束  
% 简单估算: 所有基准值 + Gamma * 最大偏差 (最保守估计)  
Max_Total_Demand_Est = sum(d_bar) + Gamma * max(d_hat);
```

### 【主问题：初始化】

```
%% 2. 初始化  
LB = -inf;  
UB = inf;  
epsilon = 1e-3;  
Max_Iter = 30;  
  
Cut_Pi = [];% = pi_sp 由子问题对偶问题求解得到 pi_sp 具体数值, 用于主问题的割平面  
Cut_Constant = [];% = sum(lambda_sp .* d) 由子问题对偶问题求解得到 lambda_sp、g 具体数值, 用于主问题的割平面  
  
% 主问题变量  
y = binvar(num_nodes, 1);% 0,1 变量(3,1)  
z = sdpvar(num_nodes, 1);% 连续决策变量(3,1)  
eta = sdpvar(1, 1);% 子问题辅助变量(1,1)  
  
fprintf('Starting Robust Benders-Dual (Penalized Method)...\\n');  
fprintf('%-5s | %-12s | %-12s | %-10s\\n', 'Iter', 'LB', 'UB', 'Gap');
```

### 【开始迭代】

```
for iter = 1:Max_Iter
```

### 【主问题：目标函数】

```
%% 3. 求解主问题 (Master Problem)  
% 目标函数  
Obj_MP = f'*y + a'*z + eta;
```

## 【主问题：约束】

```
% 主问题约束
Constraints_MP = [];

% 容量建设约束
Constraints_MP = [Constraints_MP, z <= K .* y];

% 设施容量非负
Constraints_MP = [Constraints_MP, z >= 0];

% 第二阶段运输成本非负
Constraints_MP = [Constraints_MP, eta >= 0];

% [附录 A-4.3] 添加总容量下限约束
% 这能避免第一轮 z=0 导致的无界，加速收敛
Constraints_MP = [Constraints_MP, sum(z) >= Max_Total_Demand_Est];

% 添加 Benders Cuts
% eta >= pi_k * z + sum(lambda_k * d_k)
for k = 1:length(Cut_Constant)
    pi_vec = Cut_Pi(:, k);
    const_val = Cut_Constant(k);
    %
    Constraints_MP = [Constraints_MP, eta >= pi_vec' * z + const_val];
end
```

※ 主问题约束必须添加一个总容量的下限约束。否则会出现子问题对偶无界！

若无，总容量的下限约束，求解问题，在matlab代码求解中出现了报错：

```
Starting Robust Benders-Dual (Penalized Method)...
Iter | LB           | UB           | Gap
错误使用 TwoStageROBendersDual (第 180 行)
Subproblem Failed. Status: 2. Info: Unbounded objective function (learn to
debug) (GUROBI-NONCONVEX). Please check
Solver!
```

子问题对偶无界 $\Leftrightarrow$ 子问题不可行。表示主问题求解得到的容量方案 $z^*$ 无法满足最坏场景下的需求，即出现了切负荷（未满足的需求）。在标准 Benders 分解中，这需要添加 Feasibility Cut（可行性割）。

论文的处理方法就是增加一个总容量下限约束，防止主问题在第一轮迭代时给出 $z^* = 0$ 这种显而易见的不可行解。

## 【主问题：求解】

```
% 求解
ops = sdpsettings('solver', 'gurobi', 'verbose', 0);
```

```
sol_MP = optimize(Constraints_MP, Obj_MP, ops);
```

### 【主问题：得到求解结果，更新主问题下界】

```
if sol_MP.problem == 0
    % 求解成功，更新 y、z 值传递给子问题
    y_star = value(y);
    z_star = value(z);
    eta_star = value(eta);
    % 更新主问题的下界
    Current_LB = value(Obj_MP);
else
    % 第一代若无界(unbounded)，手动给初值
    if iter == 1
        y_star = [1;1;1]; z_star = K; eta_star = 0; Current_LB = -inf;
    else
        error('Master Problem Failed. Error Code: %d. Msg: %s',
sol_MP.problem, sol_MP.info);
    end
end
LB = Current_LB;
```

### 【子问题：初始化】

```
%% 4. 求解子问题 (Subproblem)

% 对偶变量
% pi_sp: 对应容量约束 z - sum(x) >= 0
% lambda_sp: 对应需求约束 sum(x) - d >= 0
pi_sp = sdpvar(num_nodes, 1);
lambda_sp = sdpvar(num_nodes, 1);

% 不确定变量 g(3,1)
g = sdpvar(num_nodes, 1);
% 实际需求
d = d_bar + d_hat .* g;
```

### 【子问题：目标函数】

```
% 子问题对偶问题的目标函数
Obj_SPDP=sum(d.*lambda_sp)-sum(z_star.*pi_sp);
```

### 【子问题：约束】

```
% 约束
```

```

Constraints_SPDP=[];
% 对偶约束: C_ij + pi_i - lambda_j >= 0
for i = 1:num_nodes
    for j = 1:num_nodes
        Constraints_SPDP = [Constraints_SPDP, C_trans(i,j) + pi_sp(i) -
lambda_sp(j) >= 0];
    end
end
% 对偶变量非负
Constraints_SPDP = [Constraints_SPDP,pi_sp>=0];
Constraints_SPDP = [Constraints_SPDP,lambda_sp>=0];
% 【关键修正】对偶变量上界 (防止 Unbounded)
% 只要系统出现不可行 (容量不足), lambda 和 pi 就会顶到这个上界
% 这相当于告诉主问题: 由于容量不足, 产生了巨大的惩罚成本
Constraints_SPDP = [Constraints_SPDP, lambda_sp <= PENALTY_COST];
Constraints_SPDP = [Constraints_SPDP, pi_sp <= PENALTY_COST];

% 不确定集约束
Constraints_SPDP = [Constraints_SPDP,g>=0,g<=1];% 范围
Constraints_SPDP = [Constraints_SPDP,sum(g)<=Gamma];% 总预算
Constraints_SPDP = [Constraints_SPDP,g(1)+g(2)<=1.2];% 局部约束

```

※ 子问题中对应主问题的容量下限约束，需要增加对偶变量上限约束。

给对偶变量加上界Penalty，等价于给原问题加松弛变量，使得子问题的需求约束(2-4-7)变为：

$$\sum_i x_i + s \geq d, s > 0$$

上式的s为切负荷量。子问题的目标函数增加了惩罚项，变为 $\min cost + Penalty \times s$ 。

### 场景还原：

当主问题传递过来的容量方案 $z^*$ 很小（例如第一轮迭代 $z^* = 0$ ），而子问题发现最坏情况下的需求 $d > 0$ 时：

- 原问题视角：要求 $\sum_i x_i \geq d$ ，但容量 $z^* = 0$ ，这在物理上是不可能的。因此，原问题不可行。
- 对偶问题视角：需求的影子价格（Shadow Price，即对偶变量 $\lambda$ ）代表了“每增加一单位供给能减少多少违约”。既然完全无法满足， $\lambda \rightarrow \infty$ ，导致对偶目标函数 $\max_{\pi, \lambda} \sum_j d_j \lambda_j - \sum_i z_i \pi_i \rightarrow \infty$ ，即对偶无界。

### 【子问题：求解】

```
% 求解
ops = sdpsettings('solver', 'gurobi', 'verbose', 0);
ops.gurobi.NonConvex = 2;% 解决 g*lambda 的非凸性
sol_SP = optimize(Constraints_SPDP, -Obj_SPDP, ops); % Maximize

if sol_SP.problem ~= 0
    % 若报错，显示原因
    error('Subproblem Failed. Status: %d. Info: %s. Please check
Solver!', sol_SP.problem, sol_SP.info);
end
```

### 【子问题：得到求解结果】

```
% 提取结果
eta_val = value(Obj_SPDP);

% 注意：我们在 Cut 里需要的 pi 是对应 "sum(x) <= z" 的对偶变量（通常 <= 0）。
% 我们的 KKT 里定义的是 "z - sum(x) >= 0" 的对偶变量 pi_sp >= 0。
% 它们的关系是：Value(Cut_pi) = -Value(pi_sp)
% 物理意义：增加容量 z，会降低成本，所以 z 的系数应为负。
pi_val = -value(pi_sp);
lambda_val = value(lambda_sp);
d_val = value(d);
```

### 【更新主问题上界】

```
% 更新 UB
Current_UB = f'*y_star + a'*z_star + eta_val;
UB = min(UB, Current_UB);
```

### 【检查主问题上下界是否收敛，若收敛，求解成功】

```
% 主问题上下界是否收敛
Gap = abs(UB - LB)/abs(LB);
fprintf('%-5d | %-12.2f | %-12.2f | %-10.4f\n', iter, LB, UB, Gap);

if Gap <= epsilon
    % 主问题上下界收敛，完成求解
    fprintf('Converged successfully!\n');
    break;
```

```
end
```

【若不收敛，更新割平面变量，继续迭代】

```
% 更新 Cut
Cut_Pi = [Cut_Pi, pi_val];
Cut_Constant = [Cut_Constant, lambda_val' * d_val];

end
```

【求解结果】

```
Starting Robust Benders-Dual (Penalized Method)...
Iter | LB           | UB           | Gap
1   | 14296.00     | 35238.00     | 1.4649
2   | 14473.67     | 35238.00     | 1.4346
3   | 14636.55     | 35238.00     | 1.4075
4   | 14762.39     | 35238.00     | 1.3870
5   | 14801.29     | 35238.00     | 1.3807
6   | 14903.22     | 35238.00     | 1.3645
7   | 15103.67     | 35238.00     | 1.3331
8   | 15240.38     | 35238.00     | 1.3121
9   | 30532.00     | 34556.00     | 0.1318
10  | 30936.84     | 34556.00     | 0.1170
11  | 30948.50     | 34556.00     | 0.1166
12  | 31015.98     | 34556.00     | 0.1141
13  | 31252.16     | 34556.00     | 0.1057
14  | 31354.12     | 34556.00     | 0.1021
15  | 31374.69     | 34556.00     | 0.1014
16  | 33126.91     | 33680.00     | 0.0167
17  | 33130.93     | 33680.00     | 0.0166
18  | 33545.26     | 33680.00     | 0.0040
19  | 33680.00     | 33680.00     | 0.0000

Converged successfully!
==== Final Results ====
Facilities Built (y): [1 0 1]
Capacities Built (z): [255 0 517]
Worst-Case Total Cost: 33680.00
```

相较于论文结果 (Table 1)，本文 BD 方法的迭代次数更多（在第 9 次迭代才对应论文的第 2 次迭代），最终收敛值一致，完成 BD 割平面方法的复现

2.

### 3. Two-Stage RO 和 C&CG

若不确定集  $\mathcal{U}$  是有限离散集合  $\{u^1, \dots, u^r\}$ , 可写成“场景展开”的形式:

$$\min_{y, \eta, \{x^l\}} c^T y + \eta$$

$$\text{s.t. } Ay \geq d$$

$$\eta \geq b^T x^l, l = 1, \dots, r$$

$$Ey + Gx^l \geq h - Mu^l, l = 1, \dots, r$$

$$y \in \mathcal{S}_y, x^l \in \mathcal{S}_x$$

其中  $\eta$  代表“最坏场景下的二阶段成本”, 即:

$$\eta = \max_l b^T x^l$$

- 如果直接枚举所有场景, 就得到一个“大但单体”的混合整数规划:

$$\min_y c^T y + \max_{l=1, \dots, r} \min_{x^l} b^T x^l = \min_y c^T y + \max \left\{ \min_{x^1} b^T x^1, \dots, \min_{x^r} b^T x^r \right\}$$

这里有三层:

- 最外层:  $\min_y$ : 第一阶段决策;
- 中间层:  $\max_{l=1, \dots, r}$ : 选一个“最坏场景”;
- 最内层:  $\min_{x^l}$ : 在场景  $l$  下做第二阶段修正决策。

既然场景是有限个  $l = 1, \dots, r$ , 那么中间层的  $\max$  可以通过一个辅助变量  $\eta$  展开成常见的线性形式, 即式(1-)。此时问题将所有场景的变量和约束都放在一个模型中, 由同一个求解器一次性解决。

- C&CG 的思想是: 只为当前“重要场景”生成对应的二阶段变量和约束, 逐步扩充场景集合, 直到上下界收敛。

#### 【主问题】

$$\min_{y, \eta, \{x^l\}_{l \in \mathcal{O}}} c^T y + \eta \quad (1-1)$$

$$\text{s.t. } Ay \geq d \quad (1-1)$$

$$\eta \geq b^T x^l, \forall l \in \mathcal{O} \quad (1-1)$$

$$Ey + Gx^l \geq h - Mu^l, \forall l \in \mathcal{O} \quad (1-1)$$

$$y \in \mathcal{S}_y, x^l \in \mathcal{S}_x, \eta \in \mathbb{R} \quad (1-1)$$

**【子问题】**在当前 $y$ 下，寻找使二阶段成本最坏的场景 $u$ :

$$Q(y) = \max_{u \in \mathcal{U}} \min_{x \in F(y, u)} b^T x \quad (1-1)$$

## 四、 数学模型

### 1. 光伏多时段经济调度模型

#### 【目标函数】

$$\min \sum_{t=1}^T \sum_{i=1}^N [(C_i^1 P_{g,i,t} + C_i^0 x_i + C_{pv} P_{pv,t})] \quad (1-1)$$

决策变量为所有发电机有功出力  $P_{g,i,t}$  和开关机状态  $x_i$ , 为 0 表示停机, 为 1 表示开机, 在只考虑经济调度时, 机组状态在所考虑的时段内不变。

$P_{pv,t}$  为光伏在第  $t$  个调度周期内的出力,  $N$  为机组数目,  $T$  为调度周期数。

#### 【等式约束】

系统负荷平衡约束:  $\begin{cases} P_{bus,t} = P_{g,t} + P_{pv,t} - D_t \\ \sum P_{bus} = 0, \forall t \end{cases} \quad (1-2)$

#### 【不等式约束】

机组出力上下限约束:  $x_i P_{g,i}^{\min} \leq P_{g,i} \leq x_i P_{g,i}^{\max} \quad (1-3)$

机组爬坡约束:  $\begin{cases} P_{g,i,t+1} - P_{g,i,t} \leq R_i^u x_{i,t} \\ P_{g,i,t} - P_{g,i,t+1} \leq R_i^d x_{i,t+1} \end{cases} \quad (1-4)$

$R_i^u$  和  $R_i^d$  是机组  $i$  运行时上下爬坡的最大速率。

线路潮流上下限约束:  $P_l^{\min} \leq H P_{bus,t} \leq P_l^{\max} \quad (1-5)$

$H$  为功率传输分布因子, 可由函数 makePTDF(case, refbus) 得到。

### 2. 多时段经济调度模型 + 随机规划 (Stochastic Programming, SP)

随机规划将已知的所有场景全部考虑, 目标函数为所有场景成本的期望值, 即:

$$\min \mathbb{E}[\sum_{t=1}^T \sum_{i=1}^N [(C_i^1 P_{g,i,t} + C_i^0 x_i + C_{pv} P_{pv,t})]] \quad (1-6)$$

其中, 通过分析所有场景的概率分布, 得到目标函数期望值的表达式。

### 3. 样本平均近似 (Sample Average Approximation, SAA)

样本平均近似是一种求解随机优化问题的方法, 假设不知道场景的概率分布, 对采样的  $N$  个场景求平均值处理, 即用样本的平均值代替期望:

$$\min f_N(x) = \frac{1}{N} \sum_{i=1}^N F(x, \alpha_i) \quad (1-7)$$

在此式  $N$  为场景数,  $\alpha_i$  为第  $i$  次采样得到的场景。在优化基本理论与方法 (16) 随机方法之一 **【1】** 中给出了证明, SAA 的最优值和最优解会在  $N \rightarrow \infty$  时收敛到真实问题的最优值和最优解。

### 4. 机会约束规划 (Chance Constrained Programming, CCP)

CCP 允许所作决策在一定程度上不满足约束条件，并根据随机变量的分布，使约束条件成立的概率不小于某一置信水平。

例如，对于约束 (1-2) 的概率形式：

$$\mathbb{P}(\sum_{i=1}^N (P_{g,i,t} + P_{pv,i,t}) \geq \sum_{i=1}^N D_{i,t}) \geq 1 - \varepsilon$$

(1-8) 表示，在考虑光伏不确定的情况下，系统总发电量能够满足总负荷需求的概率不低于置信水平  $1 - \varepsilon$ 。在实际求解的过程中，需要将这种含有概率的随即约束转化为确定性约束。

### 【公式变形】

式 (1-8) 中只有  $P_{pv,i,t}$  是随机变量，于是将确定性项和随机项分开，转换为：

$$\mathbb{P}(\sum_{i=1}^N P_{pv,i,t} \geq \sum_{i=1}^N D_{i,t} - \sum_{i=1}^N P_{g,i,t}) \geq 1 - \varepsilon$$

可以将确定项看作为阈值常数，式 (1-9) 表示，光伏出力的实际值大于阈值常数的概率不低于置信水平  $1 - \varepsilon$ 。

### 【引入概率分布假设】

假设 t 时刻的光伏总出力  $\sum_{i=1}^N P_{pv,i,t}$  服从正态分布，均值为  $\mu_{pv,t}$ ，标准差为  $\sigma_{pv,t}$ ，对不等式左侧进行标准化变换，有：

$$\mathbb{P}\left(\frac{\sum_{i=1}^N P_{pv,i,t} - \mu_{pv,t}}{\sigma_{pv,t}} \geq \frac{(\sum_{i=1}^N D_{i,t} - \sum_{i=1}^N P_{g,i,t}) - \mu_{pv,t}}{\sigma_{pv,t}}\right) \geq 1 - \varepsilon$$

根据标准正态分布的对称性  $\mathbb{P}(Z \geq z) = 1 - \Phi(z)$ ，要使概率  $\mathbb{P} \geq 1 - \varepsilon$ ，则不等式右边的项需要位于分布的左侧：

$$\frac{(\sum_{i=1}^N D_{i,t} - \sum_{i=1}^N P_{g,i,t}) - \mu_{pv,t}}{\sigma_{pv,t}} \leq \Phi^{-1}(\varepsilon)$$

### 【整理得到最终的线性约束】

整理不等式，得到最终的线性约束：

$$\sum_{i=1}^N P_{g,i,t} \geq \sum_{i=1}^N D_{i,t} - (\mu_{pv,t} - \Phi^{-1}(1 - \varepsilon) \cdot \sigma_{pv,t})$$

其中， $\mu_{pv,t} - \Phi^{-1}(1 - \varepsilon) \cdot \sigma_{pv,t}$  表示光伏的可靠出力，即为  $\varepsilon\%$  分位数。表示光

伏有  $(1 - \varepsilon)\%$  的概率出力大于  $(\mu_{pv,t} - \Phi^{-1}(1 - \varepsilon) \cdot \sigma_{pv,t})$ 。

## 五、 代码编写

1. 选择前 10 组数据作为抽样数据，光伏的成本设置为 0，采用 SAA 方法求解只列写与 ED 不同的部分，其余代码均与 ED 一致。

### 【定义决策变量】

```
%> Define variables
P_g = sdpvar(nb, nt, nsample); % 决策变量: 10 个场景下发电机出力 (39, 96, 10)
P_pv = sdpvar(nb, nt, nsample); % 决策变量: 10 个场景下光伏出力 (39, 96, 10)
P_bus = P_g + P_pv - repmat(Pd, 1, 1, 10); % 10 个场景下节点注入功率 (39, 96, 10)
```

### 【目标函数】

```
%> Define Objective — Stochastic Programming: SAA
% 假定光伏出力成本为 0
Obj = 0;
for i = 1:nsample
    % 约束部分 ...
    % Obj
    Obj=Obj + (C1' * sum(P_g(:,:,i), 2)+sum(C0)*nt) * TS;
end
% 取平均值
Obj=Obj/nsample;
```

### 【约束方程】

```
%> Define Constraints: 10 场景
Constraints = [];

for i = 1:nsample
    % 出力约束
    Constraints = [Constraints, P_g(:,:,i) <= Pg_max, ...
                    P_g(:,:,i) >= Pg_min];
    % 爬坡约束
    Constraints = [Constraints, P_g(:,:,i) * U <= Ru, ...
                    P_g(:,:,i) * U >= Rd];
    % 线路潮流约束
    Constraints = [Constraints, H * P_bus(:,:,i) <= Pbranch_max, ...
                    H * P_bus(:,:,i) >= Pbranch_min];
    % 负荷平衡约束 (直流潮流模型, 30 节点接入光伏出力,  $\Sigma P_{bus} = 0$ )
    Constraints = [Constraints, sum(P_g(:,:,i), 1)+sum(P_pv(:,:,i)),
                    1]==sum(Pd, 1)];
    % 光伏出力约束
    Constraints = [Constraints, P_pv(:,:,i) <= Ppv_max(:,:,i)];
    Constraints = [Constraints, P_pv(:,:,i) >= 0];
```

```
% Obj ...  
end
```

该代码通过 for 循环，将 10 个场景的光伏出力约束全部加入约束方程中，优化结果是在 10 个采样场景下保证 **100%** 安全的调度结果。

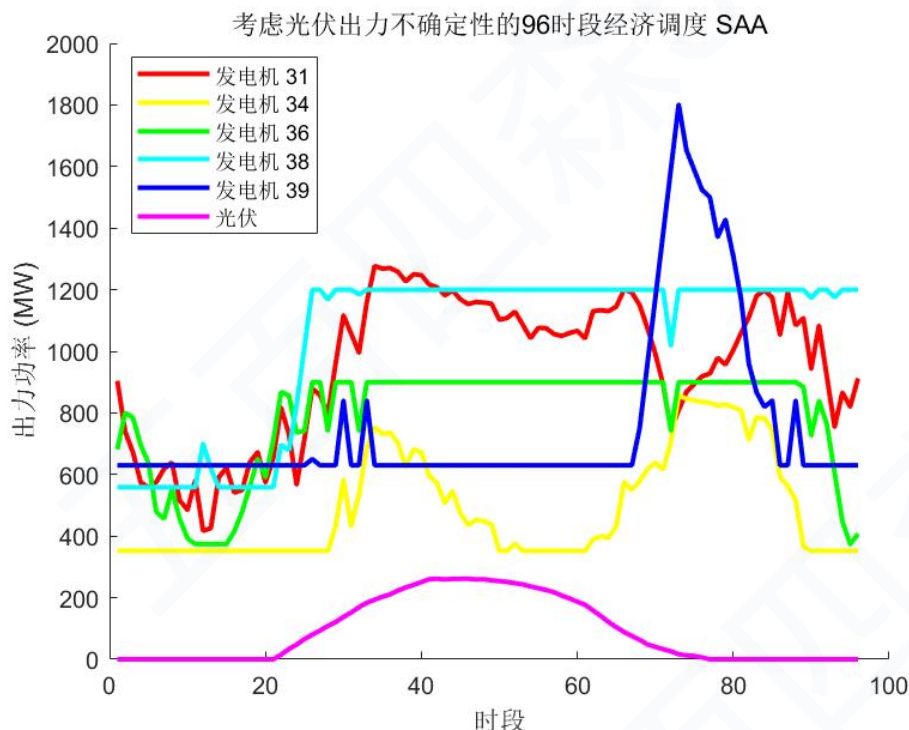
### 【优化求解】

```
%% Solve  
options = sdpsettings('solver', 'gurobi', 'verbose', 1, 'debug', 1);  
solution = optimize(Constraints, Obj, options);
```

### 【优化结果】

```
Solved in 2305 iterations and 0.57 seconds (0.96 work units)  
Optimal objective 3.444814700e+05  
求解时间: 0.83032 秒
```

成本为 34449.15 \$，各运行机组、光伏出力情况如图：



### 【对照无光伏 ED】

无光伏 ED 的优化结果成本为 34510.39 \$，接入光伏后成本有下降，主要因为假设光伏出力无成本。

## 2. 采用 CCP 方法求解, $\epsilon = 5\%$

### 【得到光伏出力数据 95% 分位数】

假设光伏出力历史数据服从正态分布, 估计光伏只有 5% 的概率会超过其 95% 的分位数, 可以用于分析弃光风险的上界。

有两种得到 95% 分位数的方法:

第一种: 用 matlab 的 mean 和 std 函数得到光伏出力的均值  $\mu_{pv,t}$  和标准差  $\sigma_{pv,t}$  计算得到

```
%> 采用 norminv 计算
% 1. 计算均值 (Mean)
% dim = 3 表示沿着第 3 维(样本)求平均
mu_Ppv=mean(Ppvmax,3); %(1,96,1)

% 2. 计算标准差 (Standard Deviation)
% flag = 0 表示无偏估计(除以 N-1)
% dim = 3 表示沿着第 3 维计算
sigma_Ppv=std(Ppvmax,0,3);%(1,96,1)

% 95%分位数 计算光伏的"可靠出力" (Conservative PV Power)(1,96)
epsilon=0.05;
K_safe=norminv(1-epsilon,0,1); %安装或激活“Statistics and Machine Learning
Toolbox” (统计与机器学习工具箱)
% K_safe = 1.6449;
PV_Conservative = mu_Ppv - K_safe * sigma_Ppv;
PV_Conservative = max(0, PV_Conservative); % 修正负数值
```

第二种: 用 matlab 的 prctile 函数得到

```
%> 采用 prctile 计算
PV_Conservative=prctile(Ppvmax,95,3);
```

### 【约束方程】

基于式 (1-12) 修改负荷平衡约束, 光伏出力约束也改为对应分位数

```
% 负荷平衡约束 (直流潮流模型, 30 节点接入光伏出力, ΣPbus=0)
Constraints = [Constraints, sum(P_g, 1)>=sum(Pd,1)-PV_Conservative];
% 光伏出力约束
Constraints = [Constraints, P_pv <= Ppvmax_ccp];
Constraints = [Constraints, P_pv >= 0];
```

## 【优化结果】

采用第一种分位数计算方法

Solved in 262 iterations and 0.06 seconds (0.08 work units)

Optimal objective 3.445014638e+05

求解时间: 0.09904 秒

采用第二种分位数计算方法

Solved in 262 iterations and 0.07 seconds (0.08 work units)

Optimal objective 3.444636174e+05

求解时间: 0.10677 秒

求解结果相近。

